

H_3O



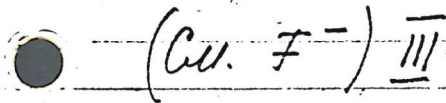
H₃O

Gaspar R. и др.

1962

J. Chem. Phys., 36, 740

Модель объединенного
атома для молекулы
типа XH_n



M₃O

1984

Ресур К.

кв.-сек.

расчет

Rept. Inst. badań jądrow.
PAN, n 550, 27 pp.

Теоретич. дослід. воз-
можности соединеній
кислорода методом
об'єднаного атомів
(см ОК; II)

об'единенного атамана.

(ссл. Опе) III

ОН₃

XI-2290

1964

4 Д49. К проблеме валентных углов в простых молекулах. Schmidtke Hans-Herbert. Zum Valenzwinkelproblem einfacher Moleküle. «Theoret. chim. acta», 1964, 2, № 1, 84—85 (нем.)

В рамках теории спиновой валентности обсуждаются возможности теоретико-группового метода, предложенного Хансеном для объяснения образования молекул гидридов типа АН_n (РЖФиз, 1964, 6Д109). Хансен исходит из предположения, что основное состояние молекулы полносимметрично. Метод хорошо объясняет образование молекул ОН₃ и FN₃, имеющих основное состояние соответственно ⁻²A₁' и ¹A₁', и позволяет предсказать плоскую структуру и симметрию D_{3h}. При переходе к более сложным молекулам, обладающим

36

ф. 1965. 48



разветвленным остовом ядер и усложненной электронной структурой (напр., негидриды AB_2), метод Хансена дает неудовлетворительный результат. Причина заключается в том, что, во-первых, теория спиновой валентности во многих случаях непригодна для больших молекул и, во-вторых, предположение о том, что основное состояние молекулы полносимметрично, в случае сложных электронных систем может не соответствовать действительности.

В. Березин

E, ze, A(p), A(e-) XI 2191 1965
(H_2O^+ , H_2O , H_3O^+ , H_4O^{2+} , H_3O , H_4O^+ , H_2F , OH^-)

Речул К.

Acta phys polon, 1965, 27, N5,
713-22

Theoretical investigation of oxygen
hydrides by the united atom
method

pppbb

10

Есть оригинал.

(с.м. F.)

H_3O

XI-2089

1966

3 Д90. Теоретическое исследование H_3O и H_4O^+ .
Bishop David M. Theoretical investigation of H_3O
and H_4O^+ . «J. Chem. Phys.», 1966, 45, № 7, 2474—2479
(англ.)

В одноцентровом приближении для различных межъядерных конфигураций рассчитана энергия для H_3O и H_4O^+ . Для H_3O использована 10-членная волн. ф-ция, а для H_4O^+ —5-членная, которые составлялись из слейтеровских детерминантов. Проводилась минимизация по линейным параметрам и оптимизация по нелинейным. С помощью более ранних расчетов для H_3O^+ определено сродство H_3O^+ к электрону: 0,1602 ат. ед. Вычислено сродство H_3O к протону: 0,184 ат. ед. Найдено, что энергия H_4O^+ ниже, чем у H_3O . Ион H_4O^+ не стабилен по

р. 1967. 32



отношению к распаду $\text{H}_3\text{O}^+ + \text{H}$. Молекула H_3O не ста-
бильна по отношению к распаду $\text{H}_2\text{O} + \text{H}$. Были исполь-
зованы следующие критерии стабильности: 1) разность
энергий между H_4O^+ и H_3O^+ должна быть больше
0,5 ат. ед. (энергии атома водорода); 2) разность энер-
гий между H_3O и H_3O^+ должна быть больше, чем
0,5 ат. ед. минус сродство к протону молекулы воды.

Е. Пшеничнов

H₃O

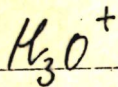
Pople J.A., Segal G.A. 1966

J. Chem. Phys., 44, N9, 3289

Приближенная теория колебательных МО.

III. Результаты, полученные с помощью метода ППДП для систем AB₂ и AB₃.

(См. ВНЗ) III



1987
Керрл G. W., et al.

Amer.

J. Chem. Soc., 89, n14, 3396.

Барьеры универсальности
размерных молекул
типа X_3Y и родствен-
ных молекул, содержащих
группу X_3Y .

(см. CH_3^-)

H_3O

XI - 2037

1967

3 Б86. Масс-спектрометрическое и теоретическое доказательство существования NH_4 и H_3O . Melton Charles E., Yoy Hubert W. Mass-spectrometric and theoretical evidence for NH_4 and H_3O . «J. Chem. Phys.», 1967, 46, № 11, 4275—4283 (англ.) 5

Проведено эксперим. и теоретич. изучение необычных молекул H_3O и NH_4 . Эксперим. исследования производились с помощью масс-спектрометра, снабженного 2 различными реакторами, предназначенными для образования данных частиц. NH_4 образовывались с помощью р-ций на поверхностях твердых тел, а H_3O — путем облучения паров воды ионизирующими электронами. Измерение потенциала ионизации NH_4 с помощью техники поверх-

у,
структура

(см. также NH_4) III

л. 1968. 3



постной ионизации приводит к величине $J(\text{NH}_4) = 5,9 \text{ эв.}$
Потенциал ионизации H_3O измерен обычным методом
электронного удара и получена величина $J(\text{H}_3\text{O}) = 10,9 \text{ эв.}$
Теоретически рассчитаны физ. параметры орбиталей
типа s , p и d для H_3O и орбиталей s , p и f для NH_4 .
Расчеты для NH_4 предсказывают тетрагональную струк-
туру с расстояниями между ядрами $1,06 \text{ \AA}$ и плоскую
структуру молекулы H_3O с длинами связей около $1,03 \text{ \AA}$.
Оценки потенциалов ионизации H_3O и NH_4 приводят к
величинам, соответственно, $3,9$ и $3,0 \text{ эв.}$ Г. К.

NH_4^+ , H_3O^+ (J)

13 " XI 51

1968

Bishop D. L.

J. Chem. Phys., 1968, 48 (11), 5285-6

Mass-spectrometric and theoretical
evidence for NH_4^+ and H_3O^+ .

CA 1968, 69, 117, 54446d

H₂O, NH₄ (3) 13 " 1968

Meldou Ch. 8, Jay R.W., XI 342
J. Chem. Phys., 1968, 48 (11), 5286-7

Theoretical evidence for NH₄ and H₂O.

(see NH₄; iii)

10

C.A. 1968, 69, 114, 54447a

1971

OH₂
cu. wa ob.

Boyd R. Y.
Whitehead M. A.

J

J. Chem. Soc., 1971,

A, v. 22, 3549.



(Cer. BH) III

Сравнение орбит Меркурия и Венеры
по числу шагов по экватору (ЭВ).

Система параллелей.

И-ла Орбит. I II III IV Эксер.

ОНЗ	a_1'	8.11	8.15	9.97(a_1)	10.02(a_1)
	a_2''	14.31	13.65	15.41(a_1)	14.95(a_1)
	e_1'	15.68	15.43	15.98(e)	15.77(e)
	a_1'	36.52	38.16	35.01(a_1)	36.31(a_1)

XI - 2748

1971

H₃O

17963h Theoretical confirmation of the stability of the H₃O radical. Gangi, R. A.; Bader, R. F. W. (Dep. Chem., McMaster Univ., Hamilton, Ont.). *Chem. Phys. Lett.* 1971, 11(2), 216-20 (Eng). An extensive open-shell SCF study of the H₃O potential surface indicates that the H₃O radical has pyramidal equil. geometry with a low inversion barrier, ~2 kcal/mole. An energy min. of -76.49569 at. units at an HOH angle of 111.77° was found. Although H₃O is less stable than H₂O + H by ~14 kcal/mole, there is a barrier of 6.6 kcal/mole for dissocn. into H₂O(¹A₁) + H(²S), suggesting the possibility of a low-temp. isolation of this species.

Кв. мет.
расчет.

C.A. 1872.46.4

H₃O

X-2748

1971

7 Б66. Теоретическое подтверждение стабильности радикала H₃O. Gangi R. A., Bader R. F. W. Theoretical confirmation of the stability of the H₃O radical. «Chem. Phys. Lett.», 1971, 11, № 2, 216—220 (англ.)

Методом МО ЛКАО ССП в базисе гауссовских функций O(s, p, d: 11, 5, 2), H (s, p: 4,1), объединенных в базис O (s, p, d: 6, 3, 2), H (s, p: 2,1) рассчитаны кривые потенциальной энергии радикала H₃O в плоской (T-форма и D_{3h}) и пирамидальной (C_{3v}—D_{3h}) конформации. Найдено, что наиболее стабильной является пирамидальная конфигурация ($\angle \text{HOH} = 111,77^\circ$, $r_{\text{OH}} = 1,859$ ат. ед.) с барьером инверсии ~ 2 ккал/моль. Энергия системы

расч.

ком.
стр.

X. 1972. 7

H_3O выше, чем $(\text{H}_2\text{O} + \text{H})$, однако вдоль пути превращения имеется барьер в 6,6 ккал/моль, что делает возможным выделение H_3O при низких т-рах. Т-образная структура энергетически наименее выгодна. Поведение орбиталей при переходе от плоской конфигурации к пирамидальной не для всех МО согласуется с диаграммами Уолша: $2a_1 (C_{3v})$ лежит ниже, чем

$2a_1' (D_{3h})$, а кривая изменения орбитальной энергии в области $120-105^\circ$ для $3a_1'-4a_1$ имеет очень сглаженный вид, тогда как согласно Уолшу, эта орбиталь должна быть значительно стабилизирована в плоской форме. Эти различия и приводят к различным выводам о наиболее устойчивой геометрии для 9-электронных систем AH_3 по Уолшу и в данной работе. А. Клягина

secret reagent. $(CH, CH^+, CH_2, CH_2^+, CH_3, CH_3^+)$
 fragments. i, j $(CH_4; CH_4^+; CH_5; CH_5^+, NH, NH^+)$
 C.A. not $(NH^+, NH_2; NH_2^+; NH_3; NH_3^+;$
 $NH_4; NH_4^+; OH, OH^+; OH_2; FH_2^+$
 $OH_2^+; OH_3; OH_3^+; FH, FH^+, FH_2)$

Nathan W.A., Pierre W.J., Curtis D.A.,
 Poppe J.A.,
 J. Amer. Chem. Soc., 1971, 93, No 4,
 6377-87.

60

PX72

OH_3

Klauser K. H.

1971

Frenkel G.

рацем

Theor. chim. acta 1971,
20, №2, 105-112

(Ces. Bet H_2) III

M₃O

XI-2854

1971

12 Б299. Обнаружение и спектры ЭПР стабилизированных в матрице гидрониевых радикалов H₃O и D₃O. Martin T. W., Swift L. L., Jr. Discovery and ESR spectra of matrix stabilized hydronium radicals H₃O and D₃O [Abstract]. «Int. J. Quant. Chem.», 1971, № 5, 371 (англ.)

При облучении УФ-светом (2800—3500 Å) водн. р-ров перхлорной к-ты и перхлората К при —180° идентифицированы дублетные спектры радикала (H₂O)⁺. При отжиге при —120° и последующем охлаждении до —180° обнаружен квадруплет 1:3:3:1, к-рый на основании восстановительных св-в, устойчивости к изотопному об-

ном.
Струнтин
Е

X. 1972. 12

мену и величине изотропной СТС (a_{H}) отнесен к радикалу H_3O . Радикалы H_3O и D_3O имеют одно и то же $\bar{g}=2,0035$; $a_{\text{H}}=22,84$ э; $a_{\text{D}}=3,65$ э. Обсуждена геометрия радикала H_3O на основании данных ЭПР. При γ -облучении при -180° без отжига, наряду с радикалами H_3O , D_3O зарегистрированы спектры ЭПР атомов H, D. Оценена энергия диссоциации H_3O с образованием H и H_2O ($E < 7$ ккал/моль).

В. А. Лившиц

H₃O

Matheu Federico M.
et al.

1972

"J. Chem. Phys.",

εi
param.

1972, 57, N12, 5183-202.

(see C₂; III)

1972

H₃O

(vi)

132883q The H₃O radical. Melamud, E.; Getz, D.; Schlick, S.; Silver, Brian L. (Chem. Dep., Technion-Israel Inst. Technol., Haifa, Israel). *Chem. Phys. Lett.* 1972, 15(4), 590-1 (Eng). Recent report of the identification of the H₃O radical is erroneous. ESR studies of aq. solns. enriched to >90 atom % in ¹⁷O provide no evidence for the H₃O radical. The spectrum originally assigned to H₃O is probably due to the Me radical.

C.A. 1972, 77, N20.

40301.7204
Ph, Ch, TE

H₂O

40892

1973

(coll. notes) MS-3810

Blint Richard J., Newton Marshall D.
Ab initio studies of interoxygen bonding
in O₂, HO₂, H₂O₂, O₃, HO₃, and H₂O₃.

"J. Chem. Phys.", 1973, 59, N 12, 6220-6228

(англ.)

0056 ББК

038 042

ВИНИТИ

H₃O

XI-3570

1973

ЭПР спектр

153459s EPR spectrum of the matrix stabilized hydronium radical. Noda, Shoji; Yoshida, Hiroshi; Kevan, Larry (Dep. Chem., Wayne State Univ., Detroit, Mich.). *Chem. Phys. Lett.* 1973, 19(2), 240-1 (Eng). A previous report of the discovery of the EPR spectrum of H₃O in uv-irradiated HClO₄ glass was re-investigated. The EPR spectrum previously assigned to H₃O was compared with an authentic spectrum of Me and was identical within exptl. error in hyperfine splitting, g-factor, lineshape and linewidth. The existence of H₃O has not yet been exptl. demonstrated.

(На самом деле не H₃O, а CH₃; Т.О. существ.)
H₃O до сих пор не выявлено.

С.А. 1973. 78 N 24

15-316

1973

раств. E, реом. етгур. ($\text{BeH}_2, \text{BH}_2,$
 $\text{CH}_2, \text{NH}_2, \text{OH}_2, \text{CO}_2, \text{Li}_2\text{O}, \text{HCN}, \text{BH}_3, \text{CH}_3, \text{NH}_3,$
 OH_3)

154324

Stenkamp L. Z., Davidson E. R.,
Theor. Chim. acta, 1973, 30, n 4, 283-314
(англ.)

An ICSCF investigation of Walsh's
rules.

Рухун, 1973, 2527



10

(9)

1973

H₂O

Электр.
спектр

Vol Luis H., et al.
"J. Chem. Phys."
1975, 59, (8), 4847-4850.

(см. CH₃O⁻; III)

1974

 H_3O

9502r Vibrational spectrum of oxonium ion. Pham Van Huong; Desbat, B. (Lab. Spectrosc. Infrarouge, Univ. Bordeaux I, Talence, Fr.). *J. Raman Spectrosc.* 1974, 2(4), 373-5 (Eng). The vibrational assignment of the oxonium ion, H_3O^+ , was made with the help of Raman polarization measurements on solns. containing $H_3O^+SbCl_6^-$ in CH_2Cl_2 . The symmetric stretching frequency is greater than the asym. mode. This order is the reverse of that obsd. in NH_3 and other XH_3 molecules.

(v_i)C.A. 1975. 82 N2

H₃O

(empty)

Schuster Peter

1974

Struct Water Aqueous

Solutions Proc Int Symp.

1973 (pub 1974) 115-39

(Eng)

(cu H₂O; III)



H₃O

H₂O, NH₃

nb. see.
packet

(+2)



C.A. 1975 N2

82

* U-7170

1974

7819a Use of localized orbitals for determination of contracted Gaussian basis sets in ab initio molecular calculations. Urban, M.; Polak, R. (Dep. Phys. Chem., Comenius Univ., Bratislava, Czech.). *Collect. Czech. Chem. Commun.* 1974, 39(9), 2567-75 (Eng). The min. basis sets of contracted Gaussian functions, detd. from localized orbitals, were constructed for the ion H₃O⁺ and the mols. H₂O and NH₃. The properties of these wave functions are discussed. The lone electron pairs and the bond orbitals of H₂O and NH₃ must be represented by different types of contracted functions.

E. Erdos

40918.3791
Ch, Ph, TC

96201 62

1974

H₃O (7)

2425

Wight G.R., Brion C.E.
Estimation of the excitation and ionization energies of NH₄, H₃O and H₂⁺ radicals using core analogies applied to K-shell electron energy loss spectra.

"Chem. Phys. Lett.", 1974, 26, N 4, 6707-6709

XI-4177

XI-4321

(англ.)

(см. NH₄⁺ III)
1974

157 158

0788

ВИНИТИ

OH₃

num 3789

1975

Accioly C.S.R., et al

J. Phys. B: Atom and
Mol. Phys., 1975, 8,
N18, 2987-94.

(kb. uex.
pactum.
an. emp.)

(all BH) III

* 13-9475

1975

 H_3O BH_4 NH_4 rv. *icex*.*factem*.

33319c Applications of a simple molecular wave function.
 7. FSGO [Floating Spherical Gaussian Orbital] open-shell calculations on first-row polyatomic hydrides and hydride ions. Blustin, Peter H.; Linnett, John W. (Dep. Phys. Chem., Univ. Cambridge, Cambridge, Engl.). *J. Chem. Soc., Faraday Trans. 2* 1975, 71(5), 1058-70 (Eng). MO calens. on the first-row element hydrides in their lower doublet states using floating spherical Gaussian orbitals gave interbond angles which were generally 15-20% lower than the exptl. values. OH , BH_2 , and NH_2 could all form dipole-induced dipole complexes with H_2 to give the hypothetical species H_2O , BH_4 , and NH_4 , resp. The results for compds. within isoelectronic series, e.g. BeH_2 , BH_2 , and CH_2^+ , were compared and the shortcomings of the method of calen. were discussed.

C.A. 1975. 83 NY

②

☒

60115.8515

Ch, Ph, MGU, TC

OH₃ 96200
(св. св.)

1975

XU-11224

Schwarz W.H.E.

Interpretation of the core electron excitation spectra of hydride molecules and the properties of hydride radicals.

"Chem. Phys.", 1975, 11, N 2, 217-228

(англ.) (coll. HCl, III)

513 514

554

0542

ВНИИМТМ

H_2O

NH_3

45-13697

Вр-5112 - XI

1976

21 Б30. Теоретическое изучение возбужденных состояний H_2O и остовно-возбужденных состояний NH_3 . Сравнение с анализом спектров возбуждения NH_3 в терминах эквивалентных остовов и применение результатов теории к радиационной химии водных систем. Schwartz Maurice E. Theoretical studies of excited states of H_2O and of core-excited NH_3 : comparisons with equivalent core analysis of NH_3 core-excitation spectra and implications for the radiation chemistry of

у. кв. мех.
1 ракет

(41)

XI

20
11-8

X1976 N21

aqueous systems. «Chem. Phys. Lett.», 1976, 40, № 1, 1—4 (англ.)

Неэмпирическим методом ССП МО ЛКАО проведены расчеты радикала H_3O и возбужденных состояний NH_3 , полученных путем возбуждения основного $1s$ -электрона на внешнюю МО. Для валентных электронов атомов Н, N и О гауссовские функции базиса были сгруппированы по Данингу (J. Chem. Phys., 1970, 53, 2823). Базис для Н и О был дополнен диффузными функциями, составленными из функций s - и p -типа. Вычисленные энергии возбуждения и энергии ионизации H_3O равны 1,87; 2,87—3,16; 3,36—3,47 и 4,75 эв, что хорошо согласуется с соотв. экспериментальными значениями 1,6; 2,9; 3,5 и 5,0 эв. Энергии возбуждений и ионизации NH_3 по отношению к низшему связанному возбужденному состоянию остова равны 1,72; 2,85—3,09; 3,32 и 4,68 эв и близки к экспериментальным оценкам. Результаты расчетов обсуждаются в связи с радиац. химией водных систем и проблемой сольватированного электрона.

По резюме

H₃O

NH₂

E_i 1, 2

49-13697

(+1)



Ф. 1976 N 11

1976

11 Д129. Теоретическое изучение возбужденных состояний радикала H₃O и состояний молекулы NH₃ с возбуждением электронов остова: сравнение с эквивалентным анализом остова. NH₃, спектры возбуждения остова и приложение к радиационной химии водных систем. Schwartz Maurice E. Theoretical studies of excited states of H₃O and of core-excited NH₃: comparisons with equivalent core analysis of NH₃ core-excitation spectra and implications for the radiation chemistry of aqueous systems. «Chem. Phys. Lett.», 1976, 40, № 1, 1-4 (англ.)

Неэмпирическим методом ССП МО ЛКАО вычислены энергии возбужденных состояний и потенциал ионизации радикала H₃O. Полученные значения энергии уров-

IX-8115-69

ней 1,87; 2,87—3,16 и 3,36—3,47 эв и потенциала ионизации 4,75 эв с точностью до 0,3 эв согласуются с эксперим. данными, полученными при возбуждении электронов остова NH_3 высокоэнергетическим электронным пучком. Аналогичный расчет выполнен для возбужденных состояний 1s-электронов остова атома N в молекуле NH_3 : результаты с той же точностью согласуются с теми же эксперим. данными и свидетельствуют об эквивалентности электронов остова в H_2O и NH_3 . Обсуждается возможная роль H_2O в спектрах водных систем.

М. Р. Алиев

5513 1977

OH_3

OH_3^-

(γ)

reactif

Kari R. E. et al.

J. Amer. Chem. Soc.

1977, 99, N14, 4539-45

H₃O

ammine 5861

1977

Nielsen R. S. E
et al

Chem. Phys., 1977, 25, 207-13

Theoretical studies on the
stability of the H₃O radical...

H₃O

1977

88: 28040d Theoretical studies on the stability of the oxonium radical based on ab initio UHF-CI calculations. Niblaeus, Kerstin S. E.; Roos, Bjorn O.; Siegbahn, Per E. M. (Dep. Nucl. Chem., R. Inst. Technol., Stockholm, Swed.). *Chem. Phys.* 1977, 25(2), 207-13 (Eng). An UHF-CI investigation of parts of the energy surface of the H₃O radical is reported. Several types of basic sets have been used and the CI expansion included all singly and doubly replaced configurations using an UHF determinant as the ref. state. H₃O, constrained to C_{2v} symmetry is in the best approxn. found to be 20.5 kcal/mol less stable than H₂O + H. A small local barrier of 4.6 kcal/mol for dissoen. is found on the UHF level of approxn. Correlation effects lower this barrier to 3.4 kcal/mol making the existence of a quasibound state with a measurable lifetime improbable. The height of the barrier was found to be very sensitive to the detailed form of the diffuse singly occupied orbital.

kb. see.
facem

C. A., 1978, LL, NY

H_3O

1974

3 Д89. Теоретическое исследование стабильности радикала H_3O , основанное на неэмпирических расчетах методом $NHF-KV$. Niblaeus Kerstin S. E., Roos Björn O., Siegbahn Per E. M. Theoretical studies on the stability of the H_3O radical based on ab initio $NHF-Cl$ calculations. «Chem. Phys», 1977, 25, № 2, 207—213 (англ.)

Геометр.
структ.

Методом KV исследованы некоторые важные области потенц. поверхности системы H_3O . Расчеты выполнялись в гауссовых базисах типа: 1) двойной экспоненты (ДЭ), 2) ДЭ+s, p -ф-ции в области связей и 3) ДЭ+поляризующие ф-ции. Исходной конфигурацией служила однодетерминантная ф-ция неограниченного метода Хартри—Фока; в расчетах KV учитывались все одно- и двукратно возбужденные (кроме возбуждений с $1s O$) конфигурации (всего 10 074 конфигураций в случае базиса 3). Радикалу H_3O (при условии, если бы он существовал) соответствует пирамидальная

ф. 1978

и 3

структура ($R(O-H) = 1,989 \text{ \AA}$, $\angle HOH = 109,5^\circ$, инверсионный барьер $4,5 \text{ ккал/моль}$). Система термодинамически неустойчива относительно распада на H_2O и H ($\Delta E = 20,52 \text{ ккал/моль}$). Исследован возможный путь реакции $H_2O + H \rightarrow H_3O$. Расчеты в базисе 3 указывают на наличие на пути реакции потенц. барьера высотой $3,4 \text{ ккал/моль}$, что является следствием пересечения потенц. кривых двух термов. Оценка нулевой колебательной энергии (4 ккал/моль) указывает на невозможность существования метастабильного H_3O в газовой фазе.

В. И. Барановский

Л Д
+ (87)

H₃O

1974

6 Б19. Неэмпирический расчет стабильности радикала H₃O в рамках неограниченного метода Хартри-Фока с учетом конфигурационного взаимодействия (Niblaeus K. S. E., Roos B. O., Siegbahn P. E. M. Theoretical studies on the stability of the H₃O radical based on ab initio UHF-CI calculations. «Chem. Phys.», 1977, 25, № 2, 207—213 (англ.)

Неограниченным методом ССП МО ЛКАО с учетом конфигурац. взаимодействия (КВ) проведены неэмпирич. расчеты радикала H₃O (I) и оптим. энергетич. профиля, характеризующего образование I из H₂O (II) и H. Исследованы 3 типа базисов из ГФ: 1) наименьший базис (A) — (0/10s, 5p), (H/5s), сгруппированный в двухэкспонентный; 2) базис B (дополненный включением s- и p-функций связи (ФС), локализованных на 3-х связях в I) — (0/10s, 6p) (H/5s), (ФС/1s1p), сгруппированный в (0/5s, 3p), (H/2s), (ФС/1s, 1p); 3) расширенный базис C (в к-ром ФС заменены на поляризац. функции d'-типа для O и p-типа для H) — (0/11s, 5p, 1d), (H/5s, 1p), сгруппированный в (0/6s, 2p, 1d), (H/2s, 1p). При расчете КВ учитывали все однократно и двукратно возбужденные конфигурации за исключением переходов с 1s орбитали O. Оптимизация геомет-

(М.И.)

2., № 1, 1978

при I включала определение длин связей (в конфигурации C_{3v}) и пирамидального угла (для симметрии D_{3h}), причем в случае базиса С расчет проводился без учета КВ. При вычислении энергетич. профиля третий атом Н перемещался вдоль биссектрисы II; оптим. траектория определялась варьированием 4-х координат — длины связи ОН в II (r); расстояния R между подвижным атомом Н и атомом О молекулы II, валентного угла НОН (θ) в II и угла φ между О—Н и биссектрисой II. Из них независимой координатой служила R , а остальные были аналитически связаны с последней. Параметры аналитического выражения находились в результате процедуры оптимизации при 3-х значениях R . Согласно полученным результатам радикал I имеет неплоскую структуру ($R=r=1,869$ ат. ед., $\theta=109,5$; $\varphi=54,6^\circ$). Величина инверсионного барьера составляет 2,8 и 4,5 ккал/моль, соотв. с учетом и без учета КВ. I является термодинамически нестабильным образованием. Разность энергий между I и (II+H) в лучшем приближении равна 20,5 ккал/моль. Энергетич. профиль системы II+H вдоль координаты R характеризуется небольшим барьером с высотой (базис С) в 4,6 ккал/моль ($R=2,24$ ат. ед.). Учет корреляц. эффектов понижает его до 3,4 ккал/моль. Происхождение этого барьера объяснено пересечением термов отталкивательного состояния с неспаренным электроном на атоме Н и притягивательного состояния с электроном, делокализованным между О и Н. Поскольку оцененная величина нулевой энергии вдоль степени свободы, приводящей к диссоциации, составляет $\sim 4,0$ ккал/моль, сделан вывод, что существование I в газовой фазе является маловероятным, даже при низких температурах.

Э. Герман

OH₃

1980

Glidewell C.

J. Mol. Struct., 1980,
64, 121-32.

was read.
see note.



see FH₃-III

OH₃

Williams B.W., et al ¹⁹⁸⁰

J. Chem. Phys., 1980, 73,
no 11, 5598-5604.

Al⁻

● (see CH₅)III

OH-H₂

Оттиск НБОГ

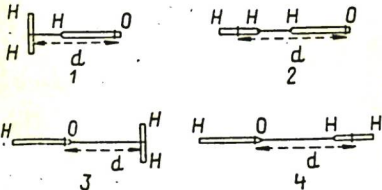
1981

19 Б37. Неэмпирические расчеты поверхности потенциальной энергии OH—H₂. Kochanski E., Flo-

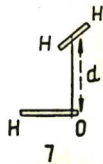
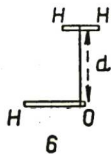
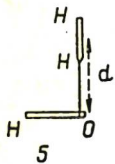
wer D. R. Ab initio calculations of the OH—H₂ potential energy surface. «Chem. Phys.», 1981, 57, № 1—2, 217—225 (англ.).

Кв. сек.
расчет

Неэмпирическим методом ССП МО ЛКАО в базисе (9s5p/4s2p) для O и (4s/2s) для H в супермолек. приближении проведены расчеты части Пв потенциальной энергии взаимодействия радикала OH с молекулой H₂. Рассмотрены след. геометрии взаимодействующих си-



X. 1981, N 19



стем в состояниях ${}^2A'$ и ${}^2A''$. Общая энергия системы представлялась в виде суммы энергии взаимодействия и дисперсионной энергии, которая рассчитывалась во 2-м порядке теории возмущений. Из расчетных значений дисперсионных энергий в широком интервале расстояний между реагентами оценены элементы тензора дипольной поляризуемости OH .

И. Абронин

дае,
вра

OH - H₂

OM. 11601

1981

номер.

номером,

кв. сек.

расем

95: 13072m Ab initio calculations of the hydroxyl radical- \Rightarrow diatomic hydrogen potential energy surface. Kochanski, E.; Flower, D. R. (Inst. Le Bel, F-67008 Strasbourg, Fr.). *Chem. Phys.* 1981, 57(1-2), 217-25 (Eng). The OH-H₂ interaction potential was calcd. for a total of seven independent geometries and the two symmetries ($^2A'$, $^2A''$) arising from the ground electronic states of the reactions. The total energy is given as a sum of the SCF interaction energy and the dispersion energy, the latter being calcd. from a second order perturbation theory expression. From the computed values of the dispersion energy at very low range, it is possible to est. the elements of the dipole polarizability tensor of the OH mol. The O-H and H-H internuclear distances are kept fixed at their equil. values throughout the calcs., the results of which will serve for a study of the rotational excitation of OH by H₂ at interstellar temps.

C.A. 1981, 95, N2.

ОН-Н₂

ОТ 11601

1981

11 Д147. Неэмпирические расчеты поверхности потенциальной энергии системы ОН—Н₂. Ab initio calculations of the ОН—Н₂ potential energy surface. Kochanski E., Flower D. R. «Chem. Phys.», 1981, 57, № 1—2, 217—225 (англ.)

Для семи различных вариантов относит. расположения молекул ОН и Н₂ рассчитана энергия взаимодействия ОН—Н₂ для состояний ²A' и ²A'' как ф-ция расстояния между центрами масс молекул d ($d = 4—9$ ат. ед.). Полная энергия представлена как сумма энергии, полученной в расчете методом ССП в двух-экспонентном гауссовом базисе + полярирующие ф-ции, и дисперсионной энергии, вычисленной во 2-м порядке теории возмущений. Внутримолекулярные межъядерные расстояния О—Н и Н—Н сохранялись фиксированными. На основе результатов расчета дисперсионной энергии при $d = 80$ ат. ед. получены оценки значений компонент тензора поляризуемости ОН.

В. И. Барановский

поверхн.
потенс.
энергии

Ф. 1981, 18, N 11.

H₂O.

Оттиск 15529

1982

Электрон.
структура
Ридберга
состояний

Raephor S., Merachbach
D.R.

J. Phys. Chem., 1982,
86, N18, 3592-3598.

H_3O

OM-22264

1985

H_3O^+

H_3O^-

структура
и энергии
возб. состоян.
(теор. расчет)

Lee H.-Y., Gaffé M.M.,

J. Mol Struct., 1985,

123, n. 3-4, 301-315.

H₂O

Am. 24190

1986

Baird N.C., Hadley G.C.

свадиль-
носцев,
теор.
приз-
сказан.

Chem. Phys. Lett.,
1986, 128, N 1, 31-37.

H. H₂O

1987

107: 223613F Ab initio studies of the structures and energies of the hydrogen oxide ion(1-) (H-(H₂O) and H-(H₂O)₂) complexes. Chalasinski, Grzegorz; Kendall, Rick A.; Simons, Jack (Dep. Chem. Univ. Utah, Salt Lake City, UT 84112 USA). *J. Chem. Phys.* 1987, 87(5), 2965-75 (Eng). Accurate calcns. for the H-(H₂O) complex with extended basis sets are reported at the restricted Hartree-Fock (RHF) through the fourth-order Moeller-Plesset (MP) perturbation levels of theory. In the equil. geometry of the H-(H₂O) complex the H- anion lies almost along one of the H-O bond directions. The H-H- distance proved to be very sensitive to electron correlation effects: it is 1.8 and 1.4 Å at the RHF and MP2 levels, resp. The interaction energy between H- and H₂O at the MP4 level including counterpoise corrections for basis set superposition error, depending upon the basis set used is 16.2 to 16.9 kcal/mol, and the electron correlation is responsible for one-third of this value. The enthalpy of formation of H-(H₂O) is estd. to be from -15.2 to -16.0 kcal/mol compared with the exptl. value of -17.3 ± 1.2 kcal/mol. The vibrational frequencies of H-(H₂O) are also reported. The H-(H₂O)₂ complex is also studied by using a polarized double zeta basis set. The geometry of the H-(H₂O)₂ complex is partly optimized at the MP2 level and the energetic effects of the addn. of the second water to H-(H₂O) are analyzed.

структура
параметры

Di, меор. параметр

(7)

C.A. 1987, 107, N 24

? H·H₂O (ΔH) (Δ₅H)

H₃O

1987

Merzberg G.

Annu. Rev. Phys. Chem.

(0030)

Vol. 38. Palo Alto, Calif.,

1987, 27 - 56.

(see  He₂; III)

H₃O

1988

24 Б1164. H₃O⁺ не выдерживают нейтрализацию — реионизацию. H₃O⁺ does not survive neutralization — reionization. March R. E., Young A. B. «Int. J. Mass Spectrom. and Ion Process.», 1988, 85, № 2, 237—239 (англ.)

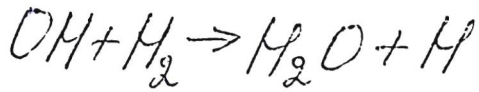
М.П.

Попытки регистрации стабильных ($>4 \cdot 10^{-7}$ с) радикалов H₃O, получаемых в процессе нейтрализации H₃O⁺ при их столкновениях и повторной ионизации на O₂, в отличие от полученных ранее данных [«Int. J. Mass Spectrom. and Ion Process.», 1987, 77, 233], не влияли к положит. результатам. Пики, к-рые могли быть отнесены к ионам H₃O⁺ или DH₂O⁺, являются лишь изотопными к ионам H₃O⁺, DH₂O⁺ и H₃¹⁸O⁺. Сопоставление распада ионов DH₂O⁺ и H₃O⁺ в условиях хим. ионизации и активирующих столкновений обнаруживает существенную разницу. В последнем случае предпочтительна потеря H.

Д. В. Загоревский

42

X. 1988, N 24 H₃O⁺



1988

Schlegel H.B., Sosa
Carlos.

40;

Chem. Phys. Lett., 1988,
145, N 4, 329-333.

(comp. $F + H_2 \rightarrow HF + H$; III)

H₃O

Om. 32933

1989

8 БТ046. Теоретическое изучение низколежащих состояний H₃O. Theoretical study of low-lying states of H₃O / Talbi D., Saxon R. P. // J. Chem. Phys.— 1989.— 91, № 4.— С. 2376—2387.— Англ.

В двухэкспонентном базисе, дополненном поляризац. и диффузными ф-циями на O, методом многоконфигурац. ССП в полном активном пространстве с последующим учетом конфигурац. взаимодействия в первом порядке исследованы потенциальные Пв основного ²A₁ и первого возбужденного, ²E состояний молекулы H₃O симметрии C_{3v}. В точках минимума и для переходных состояний энергии уточняли методом конфигурац. взаимодействия с несколькими исходными конфигурациями и с учетом одно- и двухкратных возбуждений. Для состояния ²A₁ получен единственный минимум, отвечающий ридберговому характеру H₃O⁺ с электроном на 3s-орбитали O; для состояния ²E минимумов два, причем оба неустойчивы относительно возмущений, нарушаю-

М.П.

Ж. 1990, № 8

щих симметрию C_{3v} . Приведены геометрич. параметры минимумов и энергии распада на $H_2O + H$. Энергия основного состояния выше энергии системы $H_2O + H$ на 17,93 ккал/моль. Высота барьера равна 3,58 ккал/моль, а с учетом нулевой колебат. энергии 0,4 ккал/моль для H_2O и 1,3 ккал/моль для D_2O . Сделан вывод, что барьеры слишком малы, чтобы судить о возможности эксперим. наблюдения этой системы. П. В. Ганелин

сам
ЗВОЛЕ

H₂O

32933

1989

111: 201994a Theoretical study of low-lying states of hydrogen oxide (H₂O). Talbi, Dabbia; Saxon, Roberta P. (Mol. Phys. Lab., SRI Int., Menlo Park, CA 94025 USA). *J. Chem. Phys.* 1989, 91(4), 2376-87 (Eng). The first two doublet and quartet states of H₂O have been surveyed by multiconfiguration SCF/first-order CI (MCSCF/FOCI) calcs. in C_{3v} symmetry. Geometries of the min. on the doublet surfaces have been optimized by MCSCF gradient techniques and energies obtained by large-scale multireference single and double excitation CI calcs. The correlation diagram linking the min. to different dissocn. limits has been established. A local min. in C_{3v} symmetry of ion-pair character is shown to be unstable with respect to dissocn. to H₂ + H + O. The lowest state, 1²A₁ in C_{3v}, (1²A' in C_{2v}) may be characterized as an H₃O⁺ core surrounded by an oxygen 3s Rydberg electron. Transition states for dissocn. of the 1²A' state to H₂O + H and to OH + H₂ have been investigated. An extremely low barrier height, 3.58 kcal/mol without vibration, 0.4 kcal/mol for H₂O, an estd. 1.3 kcal/mol for D₂O, with zero-point energy, is found for dissocn. of the 1²A' state to H₂O + H. Within the uncertainty of the calcn. it is not possible to predict whether the lowest state of H₂O should be observable exptl. The relationship of these results to exptl. observations for H₂O is discussed.

pacrum

C.A. 1989, 111, N 221

H_2O

От 32933

1989

3 Д104. Теоретическое исследование низколежащих состояний H_2O . Theoretical study of low-lying states of H_2O / Talbi Dahbia, Saxon Roberta P. // J. Chem. Phys.— 1989.— 91, № 4.— С. 2376—2387.— Англ.

Неэмпирическим методом МК ССП с учетом конфигурац. взаимодействия 1-го порядка в двухэкспонентном базисе сгруппированных гауссовых ф-ций, включающем диффузные ф-ции s- и p-типов для атома O и поляризационные ф-ции для всех атомов, а также в базисе с дополнительным включением еще по одной диффузной ф-ции каждого типа для атома O, иссле-

М.А.



ф. 1990, N3

довано электронное строение H_3O в двух первых дублетных (2A_1 и 2E) и квартетных (4A_1 , 4E) состояниях. Приведены потенц. поверхности, равновесная геометрия, энергии нулевых колебаний, матричные элементы, дипольных моментов переходов, силы осцилляторов и времена жизни дублетных состояний. Низшее состояние (2A_1 при симметрии C_{3v} , ${}^2A'$ при симметрии C_s) может быть охарактеризовано как остов H_3O^+ , окруженный $3s$ -ридберговским электроном атома O. Установлены переходные состояния для разных типов диссоциации и их энергетика.

В. Л. Лебедев

ДНЗ

1990

1 Д69. Строение и свойства дважды ридберговских анионов. Structures and properties of double-Rydberg anions / Ortiz J. V. // J. Phys. Chem.— 1990.— 94, № 12.— С. 4762—4763.— Англ.

На основе имеющихся в литературе результатов квантовохимических орбитальных оптимизационных расчетов геометрич. структуры ряда катионов типа AH_n^+ с замкнутыми оболочками атома А при сохранении той же симметрии проведены оптимизационные расчеты основного состояния соответствующих анионов AH_n^- с

Л.А.

(2) 12



Ф. 1991, N 1

добавочными двумя диффузно распределенными ридберговскими электронами. Использовались стандартные программы с обычно используемыми базисными наборами. Найдены устойчивые минимумы для OH_3^- , NH_4^- , PH_4^- и отсутствие таковых для SH_3^- , FH_2^- , ClH_2^- . Приведены вычисленные геометрич. параметры и частоты колебаний. Теория отталкивающихся двух валентных электронов предсказывает для PH_4^- симметрию C_{2v} , принятие которой приводит к более устойчивому минимуму (приведены результаты расчетов для обоих изомеров PH_4^-). Приведены также энергии ионизации устойчивого состояния, полученные численными расчетами во 2—4-м порядках возмущений в теории электронного пропагатора.

В. Н. Сошников

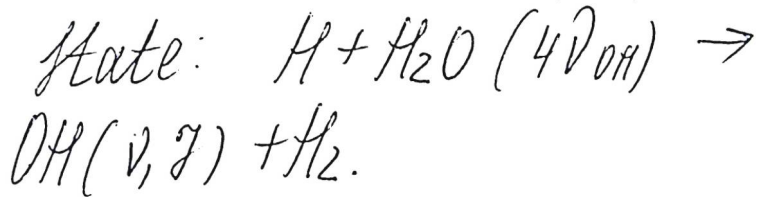


1990



J. Phys. Chem. 1990, 94,
N 11, 4391-4393

Bimolecular
Local Mode • Reaction of a
Vibrational



H₂-OH

1993

118:135027q Rovibrational spectra of open-shell van der Waals complexes: molecular hydrogen-hydroxyl (H₂-OH) (X²Π). Miller, Steven M.; Clary, David C. (Dep. Chem., Univ. Cambridge, Cambridge, UK CB2 1EW). *J. Chem. Phys.* 1993, 98(3), 1843-55 (Eng). A variational basis function approach is described for the calcn. of the rovibrational bound states and IR spectrum of a van der Waals complex of a closed-shell diatom and a ²Π diatom using no angular momentum decoupling approxns. Using an ab initio potential surface, the method is then applied to calc. the bound states and spectra of the system H₂-OH (X²Π), and results are given for the complex contg. both *para* and *ortho* H₂. Interesting similarities and differences are discovered on comparing the results with those for the related Ar-OH and H₂-HF complexes.

(X²Π)

C.A. 1993, 118, N14

H₃O⁻

1994

D₂₉₈^o

C.A. 1994,
120, N24

120: 308451v. The formation and destruction of H₃O⁻. Miller, Thomas M.; Viggiano, A. A.; Miller, Amy E. Stevens; Morris, Robert A.; Henschman, Michael; Paulson, John F.; Van Doren, Jane M. (Geophys. Dir., Phillips Lab., Hanscom AFB, MA 01731-3010 USA). *J. Chem. Phys.* 1994, 100(8), 5706-14 (Eng). The authors report the first measurements of rate consts. for formation and reaction of the hydrated-hydride ion H₃O⁻. The authors studied the Kleingeld-Nibbering reaction, namely, dehydrogenation of formaldehyde by hydroxide to form hydrated-hydride ion and carbon monoxide. The OD⁻ + H₂CO reaction is about 35% efficient at 298 K, with OD⁻/OH⁻ exchange occurring in about half the reactions. H₃O⁻ was obsd. to undergo thermal dissocn. in a helium carrier gas at room temp. with a rate const. of $1.6 \times 10^{-12} \text{ cm}^3 \text{ s}^{-1}$. The authors also studied a new reaction in which H₃O⁻ is formed, the assocn. of OH⁻ with H₂ in a He carrier gas at low temps. The rate coeff. for this ternary reaction is $1 \times 10^{-30} \text{ cm}^6 \text{ s}^{-1}$ at 88 K. Rate coeffs. and product branching fractions were detd. for H₃O⁻ reactions with 19 neutral species at low temps. (88-194 K) in an H₂ carrier. The results of ion-beam studies, neg.-ion photoelectron spectroscopy, and ion-mol. reaction data allow the authors to specify the hydride-water bond energy $D_{298}^o(\text{H}^- - \text{H}_2\text{O}) = 14.4 \pm 1.0 \text{ kcal mol}^{-1}$ ($0.62 \pm 0.04 \text{ eV}$). The heat of formation of H₃O⁻, $-37.5 \pm 1.0 \text{ kcal mol}^{-1}$, and the proton affinity of H₃O⁻, $386.0 \pm 1.0 \text{ kcal mol}^{-1}$, are derived from these results. Dissocn. of H₃O⁻ into OH⁻ and H₂ requires $4.5 \pm 1.0 \text{ kcal mol}^{-1}$ energy.



1994

Wang Jian, Boyd R. J.

Can. J. Phys. 1994.

Электрон.

структ.

72, N 11-12. C. 857-855.

Редберг

состоян.

(cell. NH_4^+ ; iii)

1994

H_3O

Wang Jian, Boyd R. J.

Электрон. Can. J. Phys. 1994.

Структ.

72, N 11-12. С. 857-855

Ридберг

состоян.

● (см. NH_4^+ ; III)

OH-H₂

1995

123: 300289q Electronic spectra of the OH(A ²Σ⁺)-H₂ and OH(A ²Σ⁺)-D₂ complexes. Hernandez, Ramon; Clary, David C. (Department of Chemistry, University of Cambridge, Lensfield Road, Cambridge, UK CB2 1EW). *Chem. Phys. Lett.* 1995, 244(5,6), 421-6 (Eng). The electronic spectra for the OH-H₂ and OH-D₂ complexes were predicted from 1st principles. The method relies on high quality ab initio calcns. of a min. energy path and an adiabatic sepn. of the bending vibrational modes. The model allows a simple interpretation and tentative assignment of an obsd. exptl. spectrum of R.A. Loomis and M.I. Lester (in press).

A. CRAMP

□

⊕ OH-D₂



C.A. 1995, 123, N22

OH₃

1995

F: OH₃

P: 3

05.Д.0451. Электронные спектры комплексов OH(A {2}'СНГМА'{+})-H[2] и OH(A {2}'СНГМА'{+})-D[2]. Electronic spectra of the OH(A {2}'СНГМА'{+})-H[2] and OH(A {2}'СНГМА'{+})-D[2] complexes / Hernandez Ramon, Clary David C. // Chem. Phys. Lett. - 1995. - 244, N 5-6. - С. 421-426. - Англ.

The electronic spectra for the OH-H[2] and OH-D[2] complexes have been predicted from first principles. The method relies on high quality ab initio calculations of a minimum energy path and an adiabatic separation of the bending vibrational modes. The model allows a simple interpretation and tentative assignment of an observed experimental spectrum.

X. 1996, N 5

H₃O

1995

124: 15781h Electronic transitions in the Rydberg Radical H₃O. Martin, I.; Campo, P.; Lavin, C. (Dep. de Quimica Fisica Facultad de Ciencias, Univ. de Valladolid, Valladolid, Spain 47005). *Int. J. Quantum Chem., Quantum Chem. Symp.* 1995, 29(Atomic, Molecular, and Condensed Matter Theory and Computational Methods, Proceedings of the International Symposium, 1995), 631-8 (Eng). Oscillator strengths and Einstein emission coeffs. for electronic transitions in the Rydberg mol. H₃O are reported. The calcns. have been performed with the Quantum Defect Orbital method, and the results are compared with those of an ab initio procedure.

(M. repexog)

C. A. 1996, 124, N 2

H₃O

1998

129:321474k An ab initio UHF study of the equilibrium and dissociation saddle point geometries of the hydronium radical. Muguet, Francis F.; Bassez, M. P.; Robinson, G. Wilse (Laboratoire d'Optique Appliquee, C.N.R.S. URA 1406, INSERM U 451, E.N.S. Techniques Avancees -- Ecole Polytechnique, 91761 Palaiseau, Fr.). *Internet J. Chem.* 1998, 1, No pp. given Article 24 (Eng), Internet Journal of Chemistry. Avail. URL: <http://www.ijc.com/articles/1998v1/24/> Herzberg has considered the existence of the hydronium radical, as an example of a Rydberg radical. However, it was only in 1984 that the H₃O· radical was detected in vacuo. In neutralized ion beam spectroscopy expts. intriguing hydrogen and oxygen isotope substitution effects were obsd. The solvated hydronium radical is also a species of major interest in the domain of liq.-phase reactivity since an electron-ion (H₃O⁺...e⁻)_{aq} pair has been found in femtosecond spectroscopy expts. in highly concd. acidic soln. The hydronium radical plays also a crucial role in two protic models of the "hydrated electron". Past theor. studies have been unable to

ab initio
vacuum
chem

C.A. 1998,

129, N24

1999

F: H3O

P: 3

131:121350 Stability of the Rydberg H3O radical.
 Park, Jong Keun (Department of Chemistry and
Central Laboratory, Pusan National University Pusan 609-
735, S. Korea). Bull. Korean Chem. Soc., 20(6), 734-736
(Engli 1999) We studied state-to-state correlation
curves of the ground and excited states for H3O dissociation
into (H2O + H). For the dissociation reaction, the M
geometric structures at each internuclear distance were
optimized using the restricted open-shell Hartree-Fock
method (ROHF), keeping C2v symmetry. MOs and optimized
structures were used as input for subsequent the singly
doubly excited CI (SDCI) calculations.

C.A. 1999, 131

F: H3O

P: 3

132:83968

Om. 40170

1999

Potential energy curves for the dissociation of the Rydberg H3O radical into (H2O+H).

Park, J. K. Department of Chemistry and Central Laboratory, Pusan National University Pusan 609-735, S. Korea Chem. Phys. Lett., 315(1,2), 119-124 (English) 1999

Potential energy curves of the ground and low-lying excited states for th dissocn. of the Rydberg H3O radical into (H2O+H) have been calcd. using a

C.A. 2000, 132

initio Hartree-Fock and singly and doubly excited CI methods with a large set. Under the C_{2v} symmetry constraints, the ground $(H_3O^+)(e^-)_3s$ radical adiabatically correlates to the repulsive state emerging from an antibond interaction of the $[H_2O(1A_1)+H(2S)]$ asymptote. The ground potential energy barrier of ≈ 0.12 eV formed by an avoided curve crossing is found at $R(OH) \approx 1.213$ Å. The potential energy gap between H_3O and (H_2O+H) is ≈ 0.86 eV.
